

УДК 535.36.01

РАЗЛОЖЕНИЕ ПОЛУКЛАССИЧЕСКОЙ МАТРИЦЫ РАССЕЯНИЯ ПО МАЛОМУ ПАРАМЕТРУ МЕССИ

А. И. Шушин

В рамках полуклассического приближения получено разложение матрицы рассеяния \hat{T} по малому параметру Месси ξ до второго порядка для однократного пролета области неадиабатичности в модели термов, бесконечно расщепляющихся при сближении сталкивающихся частиц. В качестве примера рассмотрен гамильтониан, расщепление термов которого при больших расстояниях R между частицами зависит от R как R^{-k} , а при $R \rightarrow 0$ как R^{-n} . Окончательные выражения сходятся при условии $n-k > 3$. Для выяснения поведения разложения при невыполнении этого неравенства определен первый порядок разложения \hat{T} по ξ в модели $n=2$ и $k=0$. Оказалось, что разложение содержит логарифмические по ξ члены. В той же модели определен старший член разложения \hat{T} , зависящий от ξ , с учетом конечности разности фаз, набегающей по термам с момента первого пролета области неадиабатичности до второго.

В последние годы интенсивно теоретически и экспериментально исследуются механизмы неупругих атомных и ион-атомных столкновений при низких энергиях столкновения до 10 кэВ [1]. Квазимолекулярный механизм таких столкновений сильно усложняется с увеличением атомного номера сталкивающихся частиц, поскольку в процессе принимает участие большое количество термов. С увеличением энергии столкновения, однако, появляется возможность в некоторых случаях упростить расчет сечений или даже провести его до конца для сложных систем.

Чтобы пояснить сказанное, напомним, общую постановку задачи о неупругом рассеянии атомов и молекул в полуклассическом приближении, обычно применяемом для описания таких процессов. В общем случае задача сводится к решению системы временных дифференциальных уравнений для амплитуд a_k заселенностей состояний сталкивающихся частиц [2-4]

$$i\hbar\dot{a}_k = \sum_j H_{kj} [R(t) a_j], \quad (1)$$

где $R(t)$ — классическая траектория столкновения частиц, $\hat{H}(R)$ — гамильтониан взаимодействующих частиц. Гамильтониан удобно представить в виде суммы H_0 (гамильтониана свободных частиц) и $\hat{U}(R)$ (их взаимодействия).

Для характеристики эффективности переходов в системе часто используется параметр Месси ξ [4], зависящий как $1/v$ от скорости столкновения v . При больших скоростях ξ мало и вероятности переходов можно определять приближенно, проектируя начальные состояния на конечные [5]. Однако возросшая точность экспериментов привела к необходимости рассчитывать и следующие поправки к вероятностям переходов, зависящие от ξ .

В настоящей работе предложен метод вычисления унитарной поправки к вероятностям переходов в рамках полуклассического приближения в первом и втором порядках по ξ для широкого класса практически интересных взаимодействий $\hat{U}(R)$.

В статье обобщены результаты, полученные автором в первом порядке по ξ для двух конкретных типов взаимодействия [6].

1. Общие формулы

Рассмотрим гамильтониан взаимодействия $\hat{H} [R(t)]$, состоящий из двух частей $\hat{H}(t) = \hat{H}_0(t) + \hat{U}(t)$, где $\hat{H}_0(t)$ — медленно меняющаяся или независящая от t часть $\hat{H}(t)$, а $\hat{U}(t)$ — быстро изменяющаяся со временем часть, причем $\lim_{|t| \rightarrow \infty} \hat{U}(t) = 0$. Далее, пусть

$$[\hat{H}_0(t), \hat{H}_0(t')] = [\hat{U}(t), \hat{U}(t')] = 0, [\hat{H}_0(t), \hat{U}(t')] \neq 0. \quad (2)$$

Как следствие последнего из условий (2) в системе адиабатических термов гамильтониана $\hat{H}(t)$ возникают переходы.

В безразмерных переменных $\hat{H}(t)$ преобразуется к виду $\hat{H}(t) \Rightarrow \xi [\hat{h}(\tau) + \hat{u}(\tau)]$, где $\hat{h} = \hat{H}_0/\varepsilon$, $\hat{u}(\tau) = \hat{U}(\tau)/\varepsilon$, $\xi = \varepsilon R_0/\hbar v$, $\tau = tw/R_0$, R_0 — характерный параметр длины для гамильтониана $H(R)$, ε — среднее значение $\hat{H}_0(t)$ и $\hat{U}(t)$ в области взаимодействия адиабатических термов $\hat{H}(t)$, определяемой соотношением $\hat{H}_0(t) \sim \hat{U}(t)$, v — параметр скорости, характеризующий скорость пролета области неадиабатичности по классической траектории $R(t)$. Параметр ξ представляет собой параметр Месси для $\hat{H}(t)$. При больших $v \xi \ll 1$.

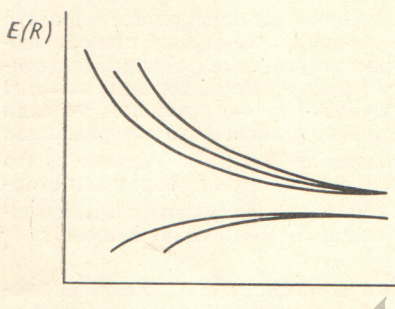


Рис. 1. Схема адиабатических термов $E(R)$ гамильтониана $H(R)$.

бесконечно растет $\hat{u}(\tau)$. Для определенности выберем такой предельной точкой $\tau = 0$. Именно такого типа гамильтонианы возникают при рассмотрении однократного прохождения области неадиабатичности в неупругом столкновении атомов с прицельным малым параметром $\rho \simeq 0$ [$R(t) = vt$] [4], поскольку взаимодействие $\hat{U}(R)$ резко возрастает при $R \rightarrow 0$. Из условия $\lim_{|t| \rightarrow \infty} U(t) = 0$ следует также, что $\lim_{|\tau| \rightarrow \infty} \hat{u}(\tau) = 0$. Характерный вид термов такого гамильтониана изображен на рис. 1.

В расчетах этого раздела скорость роста $\hat{u}(\tau)$ при $\tau \rightarrow 0$ и убывания при $\tau \rightarrow \infty$ будет предполагаться настолько большой, насколько это требуется для справедливости производимых преобразований и сходимости конечных выражений. Более подробно соотношение скоростей изменения $\hat{u}(\tau)$ и $\hat{h}(\tau)$ будет обсуждаться в конце раздела.

В пределе $\tau \rightarrow 0$ для выбранных нами $\hat{u}(\tau)$ адиабатический базис переходит в квазимолекулярный $|j, a\rangle$, диагонализующий $\hat{u}(\tau)$, а в пределе $|\tau| \rightarrow \infty$ — в атомный $|k, c\rangle$, диагонализующий $\hat{h}(\tau)$. Из условий (2) следует, что $|a\rangle$ и $|c\rangle$ не зависят от времени.

В результате решения системы полуклассических уравнений

$$i \frac{dx}{d\tau} = \xi [\hat{h}(\tau) + \hat{u}(\tau)] x, \quad x = \sum_j x_{aj}(\tau) |j, a\rangle; \quad a = a, c \quad (3)$$

с граничным условием, соответствующим заселению при $\tau \rightarrow -\infty$ только одного состояния $|k, c\rangle$, определяется матрица рассеяния $\hat{T}(\xi)$

$$\chi_c = \hat{T}(\xi) \chi_a,$$

где $\mathbf{x}_c = e^{i\xi \int \hat{h}(\tau) d\tau} \sum_j x_{cj} |j, c\rangle$ и $\mathbf{x}_a = e^{i\xi \int [\hat{u}(\tau) + \delta \hat{h}(\tau)] d\tau} \sum_j x_{aj} |j, a\rangle$ — амплитуды заселения $|k, c\rangle$ и $|j, a\rangle$ при $\tau \rightarrow 0$ и $\tau \rightarrow -\infty$ соответственно. Здесь $\delta \hat{h}(\tau)$ означает секулярную часть $\hat{h}(\tau)$ в базисе $|a\rangle$.

В пределе внезапных возмущений $\xi \rightarrow 0$, как известно [4], $\hat{T}(\xi)$ стремится к \hat{N} -матрице проектировки базиса $|k, c\rangle$ на $|j, a\rangle$

$$|j, a\rangle = \sum_k N_{kj} |k, c\rangle. \quad (4)$$

Для того чтобы найти следующие поправки по ξ к амплитудам переходов, разобьем интервал $(-\infty, 0)$ на два $[c = (-\infty, \tau_0)$ и $a = (\tau_0, 0)]$ и найдем операторы эволюции системы $U_c(\tau_0, \tau_1)$ и $\hat{U}_a(\tau_2, \tau_0)$ ($\tau_2 > \tau_0 > \tau_1$), определяемые согласно равенству $\mathbf{x}(\tau) = \hat{U}(\tau, \tau') \mathbf{x}(\tau')$. Выбор τ_0 произволен и в конечный результат не входит. Операторы \hat{U}_a и \hat{U}_c будем искать в представлении взаимодействия, причем «невозмущенным гамильтонианом» на интервале $(-\infty, \tau_0)$ является $\hat{h}(\tau)$, а на интервале $(\tau_0, 0) = \hat{u}(\tau)$.

Имеем

$$\mathbf{x}_a^{(I)} = e^{i\xi [\hat{\Phi} + \delta \hat{s} - \hat{\Phi}_0 - \delta \hat{s}_0]} \mathbf{x}_a, \quad \mathbf{x}_c^{(I)} = e^{i\xi [\hat{s} - \hat{s}_0]} \mathbf{x}_c, \quad (5)$$

где

$$\hat{s} = \int_0^\tau h(\tau') d\tau', \quad \hat{\Phi} = \int_{-\infty}^\tau \hat{u}(\tau') d\tau', \quad \hat{s}_0 = \int_0^{\tau_0} \hat{h}(\tau') d\tau', \quad \hat{\Phi}_0 = \int_0^{\tau_0} \hat{u}(\tau') d\tau' \quad (6)$$

и $\delta \hat{s}(\tau)$ — диагональная часть $\hat{s}(\tau)$ в $|a\rangle$ -базисе. В этом представлении

$$i \frac{d\mathbf{x}_a^{(I)}}{d\tau} = \xi \Delta \hat{h}_I \mathbf{x}_a^{(I)}, \quad i \frac{d\mathbf{x}_c^{(I)}}{d\tau} = \xi \hat{u}_I \mathbf{x}_c^{(I)}. \quad (7)$$

Здесь

$$\Delta \hat{h}_I = e^{i\xi [\hat{\Phi} - \hat{\Phi}_0 + \delta \hat{s} - \delta \hat{s}_0]} \Delta \hat{h} e^{-i\xi [\hat{\Phi} - \hat{\Phi}_0 + \delta \hat{s} - \delta \hat{s}_0]}, \quad \hat{u}_I = e^{i\xi [\hat{s} - \hat{s}_0]} \hat{u} e^{-i\xi [\hat{s} - \hat{s}_0]} \quad (8)$$

и $\Delta \hat{h} = \hat{h} - \delta \hat{h}$. В дальнейшем, как и в формулах (5)–(8), для краткости аргумент τ у всех функций будет опущен в тех случаях, когда это не вызовет путаницы.

Из определения $\tilde{T}(\xi)$ получаем

$$T_{ij}(\xi) = \langle a, i | \hat{U}_{aI} (\tau_2 \rightarrow 0, \tau_0) \hat{U}_{cI} (\tau_0, \tau_1 \rightarrow -\infty) | j, c \rangle. \quad (9)$$

Для получения разложения $U_\alpha(\tau, \tau')$ по ξ удобно пользоваться разложением Магнуса [7]

$$U_{cI}(\tau_0, \tau_1) = \exp [\hat{A}_c(\tau_0, \tau_1)], \quad U_{aI}(\tau_2, \tau_0) = \exp [\hat{A}_a(\tau_2, \tau_0)], \quad (10)$$

и \hat{A}_c и \hat{A}_a во втором порядке по ξ определяются выражениями

$$\hat{A}_c(\tau_0, \tau_1) = -i\xi \int_{\tau_1}^{\tau_0} \hat{u}_I d\tau - \frac{\xi^2}{2} \int_{\tau_1}^{\tau_0} \int_{\tau_1}^{\tau} [\hat{u}_I(\tau), \hat{u}_I(\tau')] d\tau' d\tau, \quad (11)$$

$$\hat{A}_a(\tau_2, \tau_0) = -\xi \int_{\tau_0}^{\tau_2} \Delta \hat{h}_I d\tau - \frac{\xi^2}{2} \int_{\tau_0}^{\tau_2} \int_{\tau_0}^{\tau} [\Delta \hat{h}_I(\tau), \Delta \hat{h}_I(\tau')] d\tau' d\tau. \quad (12)$$

Расчет с точностью до членов ξ^2 дает

$$\hat{A}_c(\tau_0, \tau_1) = i\xi \left\{ -\hat{\Phi}_0 - i\xi [\hat{\Phi}_0, \hat{s}_0] - i\xi \int_{\tau_0}^{\infty} [\hat{s}, \hat{u}] d\tau \right\}, \quad (13a)$$

где

$$\hat{A}_a(\tau_2 \rightarrow 0, \tau_0) = -i\xi \left\{ \hat{\alpha}(\xi) - i\xi \int_{-\infty}^{\tau_0} [\hat{\Phi}, \hat{h}] d\tau - \Delta\delta_0 + i\xi \int_{\tau_0}^0 [\delta\hat{s}, \hat{h}] d\tau - i\xi [\hat{\Phi}_0 + \delta\hat{s}_a, \hat{\alpha}(\xi) - \delta s_0] \right\} - \frac{\xi^2}{2} \left\{ \hat{\beta}(\xi) - [\hat{\alpha}(\xi), \Delta\delta_0] + \int_{\tau_0}^0 [\Delta\hat{h}, \Delta\delta] d\tau \right\}, \quad (136)$$

где

$$\hat{\alpha}(\xi) = \int_{-\infty}^0 (\Delta\hat{h}_I - \Delta\hat{h}) d\tau, \quad (14)$$

$$\hat{\beta}^2(\xi) = \int_{-\infty}^0 [\Delta\hat{h}_I - \Delta\hat{h}, \Delta s] d\tau + \int_{-\infty}^0 \int_{-\infty}^{\tau} [\Delta\hat{h}_I, \Delta\hat{h}_I(\tau') - \Delta\hat{h}(\tau')] d\tau' d\tau. \quad (15)$$

Чтобы упростить формулу для $\hat{T}(\xi)$, заметим, что с точностью до ξ^2 включительно для двух матриц \hat{B}_1 и \hat{B}_2 порядка ξ имеется равенство

$$e^{\hat{B}_1 + \hat{B}_2} \simeq e^{\hat{B}_1} e^{\hat{B}_2} e^{-\frac{1}{2} [\hat{B}_1, \hat{B}_2]} \simeq e^{\hat{B}_2} e^{\hat{B}_1} e^{-\frac{1}{2} [\hat{B}_2, \hat{B}_1]}. \quad (16)$$

Используя (13)–(16), находим

$$\hat{T}(\xi) = e^{-i\xi(\hat{\Phi}_0 + \delta\hat{s}_0)} e^{-i\xi\hat{\alpha}(\xi) - \frac{1}{2}\xi^2\hat{\beta}(\xi)} e^{i\xi\delta s_0}. \quad (17)$$

Матрицы $e^{+i\xi\delta s_0}$ и $e^{-i\xi(\hat{\Phi}_0 + \delta\hat{s}_0)}$ являются фазовыми и в полной матрице эволюции сокращаются

$$\begin{aligned} \hat{U}(\tau_2, \tau_1) &= e^{-i\xi[\hat{\Phi}(\tau_2) + \delta\hat{s}(\tau_2) - \hat{\Phi}_0 - \delta\hat{s}_0]} \hat{U}_{a_I}(\tau_2, \tau_0) \hat{U}_{c_I}(\tau_0, \tau_1) e^{i\xi[\delta(\tau_1) - \delta s_0]} = \\ &= e^{-i\xi[\hat{\Phi}(\tau_2) + \delta\hat{s}(\tau_2)]} e^{-i\xi\hat{\alpha}(\xi) - \frac{1}{2}\xi^2\hat{\beta}(\xi)} e^{i\xi\delta s_0}. \end{aligned} \quad (18)$$

Выражения (14), (15) справедливы, когда $\hat{s}(\tau) = \int_{-\infty}^{\tau} \hat{h}(\tau') d\tau'$ сходится.

В противном случае [например, для $\hat{h}(\tau) \sim 1/\tau^n$, $n > 1$], если существует $\int_{-\infty}^{\tau} \hat{h}(\tau') d\tau'$, то удобно положить $\hat{s}(\tau) = \int_{-\infty}^{\tau} \hat{h}(\tau') d\tau'$. Для такого типа потенциалов $\hat{h}(\tau)$ получаем

$$\hat{\alpha}(\xi) = \int_{-\infty}^0 \Delta\hat{h}_I d\tau, \quad \hat{\beta}(\xi) = \int_{-\infty}^0 \int_{-\infty}^{\tau} [\Delta\hat{h}_I(\tau), \Delta\hat{h}_I(\tau')] d\tau' d\tau. \quad (19)$$

Без потери точности можно разложить Δh_I в (14), (15) и (19) по $\xi\delta\hat{s}$

$$\Delta h_I = e^{i\xi[\hat{\Phi} + \delta\hat{s}]} \Delta\hat{h} e^{-i\xi[\hat{\Phi} + \delta\hat{s}]} \simeq \Delta h_{I_0} + i\xi [\delta\hat{s}, \Delta h_{I_0}], \quad (20)$$

где $\Delta h_{I_0} = e^{i\xi\hat{\Phi}} \Delta\hat{h} e^{-i\xi\hat{\Phi}}$, причем в $\hat{\alpha}(\xi)$ необходимо использовать оба члена разложения, а в $\hat{\beta}(\xi)$ только первый.

В $\hat{\alpha}(\xi)$, как будет видно на конкретных примерах, рассмотренных в следующих разделах, содержится действительное слагаемое $\Delta\hat{\alpha}_0$, обладающее свойством

$$\Delta\hat{\alpha}_0 = \hat{\alpha}_0 - \delta\hat{\alpha}_0, \quad [\hat{\alpha}_0, \hat{s}] = 0, \quad [\delta\hat{\alpha}_0, \delta s_0] = 0 \quad (21)$$

($\delta\hat{\alpha}_0$ — диагональная часть $\hat{\alpha}_0$) и приводящее только к появлению дополнительных фазовых множителей у амплитуд переходов. Целесообразно выделить эту фазу в явном виде

$$\hat{T}(\xi) = e^{-i\xi\delta s_0} e^{-i\xi\hat{\alpha}'(\xi) - \frac{1}{2}\xi^2\hat{\beta}'(\xi)} e^{i\xi\eta}, \quad (22)$$

где

$$\hat{a}'(\xi) = \hat{a}(\xi) - \Delta\hat{a}_0(\xi), \quad \hat{\beta}'(\xi) = \hat{\beta}(\xi) + [\hat{a}(\xi), \hat{a}_0(\xi) + \delta\hat{a}_0(\xi)] + [\delta\hat{a}(\xi), \hat{a}_0(\xi)], \quad (23)$$

$$\hat{\eta} = \hat{s}_0 - \hat{a}_0, \quad \hat{\gamma} = \hat{\Phi}_0 + \delta\hat{s}_0 - \delta\hat{a}_0. \quad (24)$$

Появление слагаемого $\Delta\hat{a}_0$ в \hat{a} вызвано неудачным выбором точки отсчета для фазы $\hat{s}(\tau)$, и явное выделение $\Delta\alpha_0$ фактически приводит к сдвигу этой точки.

Фаза $\hat{\gamma}$ представляет собой аналог дополнительной фазы набегающей в области неадиабатичности и рассчитанной для двухуровневой экспоненциальной модели в работе [8].

Чтобы представить, для какого типа зависимостей $\hat{h}(\tau)$ и $\hat{u}(\tau)$ интегралы в (15) и (19) сходятся, положим $\hat{h}(\tau) \sim |\tau|^{-k}$, $u(\tau) \sim |\tau|^{-n}$. Непосредственный расчет показывает, что необходимо потребовать $n-k > 3$ для сходимости интеграла в $\hat{a}(\xi)$ и $n-k > 3$ в $\hat{\beta}(\xi)$. В качестве примера, когда одно из указанных неравенств не выполняется, ниже в разд. 3 будет рассмотрен случай $k=0$, $n=2$.

Условием быстрой сходимости разложения $T(\xi)$ до ξ являются неравенства $|\alpha_{ij}(\xi)| \leq 1$, $|\beta_{ij}(\xi)| \leq 1$. Однако существует случай, когда $|\alpha_{ij}|$ и $|\beta_{ij}|$ велики, но разложение тем не менее применимо. Это случай вырожденных в области неадиабатичности термов. Чтобы получить корректное выражение для вероятностей в системе таких термов, необходимо диагонализовать взаимодействие этой группы термов и затем рассчитывать по формулам (14), (15), с(19) в базисе полученных новых состояний.

Формулы (14), (15), (19) для $\hat{T}(\xi)$ -матрицы являются обобщением известных выражений теории возмущений [9] на случай термов, расходящихся на одном из пределов. Вывод выражений (14), (15), (19) можно было бы упростить для взаимодействий $\hat{u}(\tau)$, быстро растущих при $\tau \rightarrow 0$ (в указанном ранее смысле), если заметить, что согласно (13б), $\hat{A}_c \rightarrow 0$ при $\tau_0 \rightarrow -\infty$, и, следовательно, вклад области $|\tau| > |\tau_0|$ пренебрежимо мал. Этот результат является следствием быстрой сходимости $\Phi(\tau_0)$ к 0 при $\tau_0 \rightarrow -\infty$. Поэтому можно, переходя к пределу $\tau_0 \rightarrow -\infty$, опустить все члены, содержащие $\Phi(\tau_0)$. Окончательные выражения для $\hat{a}(\xi)$ и $\hat{\beta}(\xi)$, получаемые таким способом, естественно, совпадают с (14), (15). Привели же мы здесь более громоздкий вывод потому, что существуют некоторые типы потенциалов (например, степенные с k и n , не удовлетворяющими указанным выше неравенствам), для которых вклад обеих областей $\tau > \tau_0$ и $\tau < \tau_0$ одного порядка. В этом случае поправки к вероятностям можно найти только описанным более сложным способом.

2. Модель степенных потенциалов

Для иллюстраций получим выражения для $\hat{a}(\xi)$ и $\hat{\beta}(\xi)$ для некоторых практически интересных гамильтонианов.

а. Пусть $\hat{h}(\tau) = \hat{h}$ не зависит от τ , $\hat{u}(\tau) = \hat{V} |\tau|^{-(n+1)}$ и \hat{V} также не зависит от τ . Произведем формальную пока замену ξ на $n\xi$. Смысл этой замены будет объяснен ниже.

Интегрирование в (14), (15), (22) в базисе $|a\rangle$ дает

$$\alpha'_{kj} = n\xi^{1/n} \Delta h_{kj} \Gamma\left(1 - \frac{1}{n}\right) \left\{ \cos \frac{\pi}{2n} - |\Delta V_{kj}|^{1/n} e^{-i \frac{\pi}{2n} \text{sign}(\Delta V_{kj})} \right\},$$

$$\hat{\beta}' = \frac{\xi^{2/n}}{2} \{-2\hat{h} + n^2 [\delta\hat{h} + \hat{h}, \hat{g}]\}, \quad (25)$$

$$\lambda_{kj} = \sum_i \Delta h_{ki} \Delta h_{ij} \left\{ |\Delta V_{ki}|^{2/n} I(v_{kj}) - |\Delta V_{ij}|^{2/n} I\left(\frac{1}{v_{kj}}\right) \right\},$$

$$I(v) = \int_0^\infty \int_0^\infty \frac{e^{-ix} (e^{-ivx'} - 1)}{(xx')^{1+1/n}} dx' dx, \quad (26)$$

$$g_{kj} = \Delta h_{kj} \omega_{kj}, \quad \omega_{kj} = \left[|\Delta V_{kj}|^{2/n} \Gamma\left(1 - \frac{2}{n}\right) - |\Delta V_{kj}|^{1/n} \right] \times \\ \times \Gamma^2\left(1 - \frac{1}{n}\right) e^{-i\frac{\pi}{n} \text{sign}(\Delta V_{kj})} + \Gamma^2\left(1 - \frac{1}{n}\right) \left[\cos^2 \frac{\pi}{2n} - |\Delta V_{kj}|^{1/n} \right], \quad (27)$$

$$\hat{\tau} = n\hat{h} \left[\tau_0 + \xi^{1/n} \Gamma\left(1 - \frac{1}{n}\right) \cos \frac{\pi}{2n} \right],$$

$$\hat{\gamma} = -\hat{V} |\tau_0|^{-n} + n\delta\hat{h} \left[\tau_0 + \xi^{1/n} \Gamma\left(1 - \frac{1}{n}\right) \cos \frac{\pi}{2n} \right], \quad (28)$$

где

$$\Delta V_{kj} = V_{kk} - V_{jj}, \quad \Delta \hat{h} = \hat{h} - \delta \hat{h}, \quad \nu_{kj}^i = \Delta V_{ij}/\Delta V_{ki}.$$

В общем случае операторы $\hat{\alpha}(\xi)$ и $\hat{\beta}(\xi)$ комплексные и могут быть действительными только в модели двух термов или в тривиальных многоуровневых моделях, сводящихся к двухуровневой. По физическому смыслу мнимая часть $i\xi\hat{\alpha}'(\xi)$ представляет собой вклад интерференционных явлений, вызванных наличием нескольких перекрывающихся областей неадиабатичности. Так, в модели $\hat{u}(\tau) \sim |\tau|^{-n}$ для двух квазимолекулярных состояний $V_{11}|\tau|^{-n}$ и $V_{22}|\tau|^{-n}$ удаленность области неадиабатичности от общего центра $|\tau| \simeq \xi(V)^{1/n} \simeq \xi^{1/n}$ определяется условием $\tau_{12} \simeq \simeq \xi^{1/n} (|\Delta V_{12}|^{1/n} - 1)$. Поэтому фаза, набегающая по этой паре термов и обусловленная их постоянным взаимодействием h_{12} в пренебрежении в низшем по ξ порядке расщеплением термов на участке $[\tau_{12}, \tau]$, равна $2h_{12}\xi^{1+1/n} \times (|\Delta V_{12}|^{1/n} - 1)$. Именно эти фазы с точностью до численного множителя порядка 1 фигурируют в $\text{Im } i\hat{\alpha}'$. Действительная часть $i\hat{\alpha}'(\xi)$ определяет собственно вероятности переходов в каждой из областей неадиабатичности. Справедливость такой интерпретации $\hat{\alpha}'(\xi)$ подтверждается и тем фактом, что в двухуровневой модели, определяемой как частный случай (22)–(24) с одной областью неадиабатичности, $\text{Im } i\hat{\alpha}' = 0$.

Перейдем теперь в (25)–(28) к пределу $n \rightarrow \infty$ с одновременной заменой $|\tau|$ на $1 + \tau/n$

$$\alpha'_{ekj} = \Delta h_{kj} \left[-\ln |\Delta V_{kj}| + i\frac{\pi}{2} \text{sign}(\Delta V_{kj}) \right], \quad \hat{\beta}'_e = -\frac{1}{2} \{-2\hat{\lambda}_e + [\delta\hat{h} + \hat{h}, \hat{g}_e]\}, \quad (25')$$

$$\lambda_{ekj} = \sum_i \Delta h_{ki} \Delta h_{ij} \Delta I(\nu_{kj}^i), \quad \Delta I(\nu) = \int_{\nu}^{1/\nu} \frac{\ln|1+x|}{x} dx + i\pi \ln|\nu| (\text{sign } \nu - 1), \quad (26')$$

где

$$g_{ekj} = \Delta h_{kj} \omega_{ekj}, \quad \omega_{ekj} = \ln^2 |\Delta V_{kj}| - \frac{\pi^2}{12} - i\pi \ln |\Delta V_{kj}| \text{sign}(\Delta V_{kj}), \quad (27')$$

$$\hat{\eta} = \hat{h}(\tau_0 + C - \ln \xi), \quad \hat{\gamma} = -Ve^{-\tau_0} + \delta\hat{h}(\tau_0 + C - \ln \xi), \quad C \simeq 0.577 \dots \quad (28')$$

Пределенные выражения (25')–(28') соответствуют гамильтониану $\mathbf{v}(\tau) \sim e^{-\tau}$. Действительно, заменяя $|\tau| \rightarrow 1 + \tau/n$, находим при $n \gg 1$

$$n\xi [\hat{h} + \hat{V} |\tau|^{-(n+1)}] \rightarrow \xi \left[\hat{h} + \hat{V} \left(1 + \frac{\tau}{n}\right)^{-(n+1)} \right] \simeq \xi [\hat{h} + Ve^{-\tau}]. \quad (29)$$

Именно для того, чтобы обеспечить предельный переход (29) и как следствие (25')–(28'), ранее была произведена замена ξ на $n\xi$.

Из (25)–(28), (22) легко можно найти вероятности перехода $P(0, \xi)$ в двухуровневой экспоненциальной модели [2]

$$\left. \begin{aligned} H_{11} - H_{22} &= \xi (\cos \theta + e^{-\tau}), \quad H_{12} = \xi \frac{\sin \theta}{2}, \\ P(0, \xi) &= \sin^2 \left[\frac{\theta}{2} - \frac{\pi}{4} \xi \sin \theta + \frac{\pi^2}{48} \xi^2 \sin \theta \cos \theta \right]. \end{aligned} \right\} \quad (30)$$

Сравнение с точным выражением [2]

$$P_T(\theta, \xi) = \exp\left[-\frac{\pi\xi}{2}(1 + \cos\theta)\right] \operatorname{sh}\left[\frac{\pi\xi}{2}(1 - \cos\theta)\right] / \operatorname{sh}\pi\xi$$

для $\theta = \pi/3$, $\theta = \pi/2$, $\theta = 2\pi/3$ показано на рис. 2. Как видно, $P(\theta, \xi)$ воспроизводит $P_T(\theta, \xi)$ с точностью не хуже 0.03 вплоть до $\xi \simeq 0.8$.

б. Пусть $\hat{h}(\tau) = \hat{h}|\tau|^{-(k+1)}$ и $u(\tau) = \hat{V}|\tau|^{-(n+1)}$ ($k > 0$, $n-k > 3$). Гамильтонианы такого типа возникают в тех задачах, где необходимо принимать во внимание взаимодействия, не только резко зависящие от расстояния типа обменного, но и слабо зависящие — типа кориолисова.

Формулы для δ' , β' , $\hat{\gamma}$ и $\hat{\eta}$ в такой модели, получаемые из (19) и (23), мы приводить здесь не будем, поскольку они отличаются от выражений (25)–(27) только заменой n на $-n/k$.

Фаза $\hat{\alpha}_0$, как видно из (22), представляет собой для данного типа гамильтониана точное определение набега фазы от области неадиабатичности $|\tau_0| \sim 1$ до $|\tau_0| \rightarrow \infty$, которую, согласно (24), можно представить в виде $\hat{\alpha}_0(\xi) = \hat{s}_0 - \hat{\eta}$, где $\hat{s}_0 = \frac{n}{k} \hat{V} |\tau_0|^{-k}$,

а $\hat{\eta}$ — добавочная фаза, аналогичная определенной в 28: $\hat{\eta} = \frac{n}{k} \hat{h} \left[|\tau_0|^{-k} - \xi^{-k/n} \Gamma\left(1 + \frac{k}{n}\right) \cos \frac{\pi k}{2n}\right]$.

На примере гамильтониана с кориолисовым взаимодействием $\hat{h} \sim |\tau|^{-2}$ соотношение $\hat{\alpha}_0(\xi) = \hat{s}_0 - \hat{\eta}$ имеет простой физический смысл. В этом случае \hat{s}_0 пропорционально углу поворота траектории классического движения частиц друг относительно друга от момента $|\tau_0| \sim 1$, когда резко падает взаимодействие частиц, до бесконечности. Второе слагаемое $\hat{\eta}$ возникло вследствие немгновенности включения молекулярного взаимодействия и описывает отставание в повороте электронной оболочки системы частиц от траектории относительного движения этих частиц. Это отставание при малых ξ мало по сравнению с \hat{s}_0 , однако для описания тонких интерференционных эффектов в дифференциальных сечениях учесть $\hat{\eta}$ может оказаться существенным.

3. Кориолисово взаимодействие

С практической и теоретической точки зрения представляет интерес исследовать модель гамильтониана с взаимодействием $\hat{U}(R) \sim R^{-2}$. Именно таким образом зависит от расстояния между сталкивающимися частицами кориолисово взаимодействие.

а. Рассмотрим сначала простейший случай пролета с нулевым прицельным параметром ($R = vt$). Тогда гамильтониан в обозначения разд. 2 представится в виде $\xi (\hat{h} + \hat{V} \tau^{-2})$, где \hat{h} и \hat{V} не зависят от τ .

Отметим, что уже первый порядок разложения $T(\xi)$ для этого взаимодействия расходится. Эта расходимость обусловлена, как мы увидим, иной логарифмической зависимостью первого порядка от ξ . Особенность во многом аналогична возникающей при определении вероятности перехода вызванной диполь-дипольным взаимодействием для пролета частиц с большим прицельным параметром по теории возмущений [10].

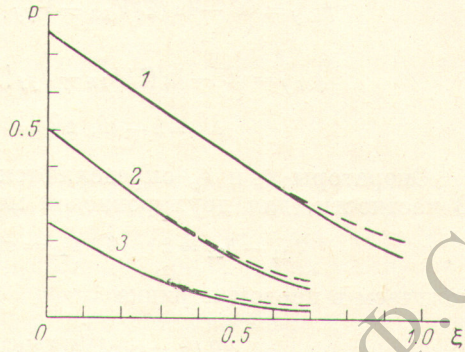


Рис. 2. Сравнение приближенной, рассчитанной до членов ξ^2 включительно, вероятности $P(\xi, \theta)$ (сплошные линии) с точной $P_T(\xi, \theta)$ (штриховые линии) для двухуровневой модели (30): 1, 2 и 3 — $\theta = 2\pi/3$, $\pi/2$ и $\pi/3$ соответственно.

Разложение (22) для рассматриваемого потенциала можно получить из формул типа (25), если аккуратно перейти в общих выражениях к пределу $n \rightarrow 1$. Однако легче найти результат прямо, применяя метод, описанный в разд. 2. Расчет с использованием (11) и (12), полностью аналогичный (13)–(15), приводит к следующим выражениям для параметров, входящих в (22):

$$\hat{\alpha}(\xi) = 0, \quad \hat{\beta} = 2[\hat{h}, \hat{g}_a] - 2[\hat{V}, \hat{g}_c], \quad (31)$$

где

$$g_{akj} = \left\{ C - \ln(\xi |V_{kk} - V_{jj}|) + i \frac{\pi}{2} \operatorname{sign}(V_{kk} - V_{jj}) \right\} \Delta h_{kj},$$

$$g_{ckj} = \left\{ C - \ln(\xi |h_{kk} - h_{jj}|) - i \frac{\pi}{2} \operatorname{sign}(h_{kk} - h_{jj}) \right\} \Delta V_{kj},$$

$$\Delta \hat{h} = \hat{h} - \delta \hat{h}, \quad \Delta \hat{V} = \hat{V} - \delta \hat{V}, \quad C = 0.577 \dots$$

Операторы \hat{g}_a и \hat{g}_c определяются в базисе $|a\rangle$ и $|c\rangle$ соответственно. В частности, для двухуровневой модели

$$h_{11} - h_{22} = 2 \cos \theta, \quad h_{12} = \sin \theta, \quad V_{11} - V_{22} = 2, \quad V_{12} = 0$$

получаем в первом порядке

$$P(\xi) = \sin^2 \left[4\xi^2 \sin \theta \left(c + \ln 2\xi \right) + \frac{\theta}{2} \right]. \quad (32)$$

Зависимость $P(\xi)$ действительно содержит уже в низшем порядке логарифмический член.

6. Часто на практике встречается случай двукратного прохождения области неадиабатичности. Если в промежутке между ними система успевает выйти на асимптотические квазимолекулярные термы, то для нахождения вероятностей перехода при первом и втором проходе можно пользоваться найденными в разд. 2 выражениями. В противном случае задача усложняется. Именно такая ситуация возникает при рассмотрении кориолисова взаимодействия термов, поскольку фаза, набегающая за счет этого взаимодействия, невелика ($\sim \pi$).

В качестве примера, рассмотрим простой модельный гамильтониан, отвечающий кориолисову взаимодействию мультиплета термов при прямолинейном пролете частиц с прицельным параметром ρ [$R(t) = \rho^2 + v^2 t^2$] : $\xi [\hat{h} + \hat{V}/(\xi^2 + \tau^2)]$. Для этого разобьем ось времени $\tau (-\infty, \infty)$ на два интервала $(-\infty, 0)$ и $(0, \infty)$ и определим на каждом из них $\hat{T}_-(\xi)$ и $\hat{T}_+(\xi)$ способом, аналогичным примененному в пункте а).

Поскольку \hat{T}_+ и \hat{T}_- выражаются одна через другую ($\hat{T}_+ = \hat{T}_-^T$), необходимо определить только одну из них, скажем \hat{T}_- . Разобъем интервал времени $(-\infty, 0)$ на два в точке $\tau_0 \sim -1$. При $\tau < \tau_0$ и малых ξ $1/(\xi^2 + \tau^2) \simeq \simeq \tau^{-2}$ и, следовательно, матрица \hat{A}_c будет точно такой же, как и для рассмотренного в пункте а) случая $\rho = 0$. При $\tau > \tau_0$

$$\hat{A}_0 = -i\xi \int_{\tau_0}^0 e^{i\xi(\hat{\varphi} - \hat{\varphi}_0)} \Delta \hat{h} e^{-i\xi(\hat{\varphi} - \hat{\varphi}_0)} d\tau, \quad (33)$$

где $\hat{\varphi}(\tau) = \hat{V} \operatorname{arctg} \left(\frac{\xi}{\tau} \right)$, $\hat{\varphi}_0 = \varphi(\tau_0) \approx \hat{V} \frac{\xi}{\tau_0}$. Это выражение в первом порядке по ξ можно представить в виде

$$A_a = \hat{A}_a(\rho = 0) + \xi \Delta \hat{\beta} \quad (34)$$

и $\Delta \hat{\beta}$ в базисе $|a\rangle$, диагонализующем \hat{V} , определяется выражением

$$\Delta \hat{\beta}_{kj} = 2 \Delta h_{kj} \int_{-\infty}^0 \left[e^{-i\Delta V_{kj} \operatorname{arctg} \frac{1}{x}} - e^{-i\Delta V_{kj} \frac{1}{x}} \right] dx, \quad (35)$$

где $\Delta V_{kj} = V_{kk} - V_{jj}$.

В результате для матрицы эволюции $\hat{U}(0, -\infty)$ получаем

$$\hat{U}(0, \tau \rightarrow -\infty) = e^{-i\hat{\beta}(\tau=0)} e^{-\frac{1}{2}\xi^2[\hat{\beta} + i\Delta\hat{\beta}]} e^{i\xi\hat{s}(\tau)}. \quad (36)$$

Здесь $\hat{\beta}$ определяется (31), $\hat{\beta}(\tau=0) = \frac{\pi}{2} \hat{V}$.

Используя (36), легко найти полную матрицу эволюции

$$U(\tau_1 \rightarrow \infty, \tau_2 \rightarrow -\infty) = e^{-i\xi\hbar\tau_1} e^{-\frac{1}{2}\xi^2[\hat{\beta}^T + i\Delta\hat{\beta}^T]} e^{-i\pi\hat{V}} e^{-\frac{1}{2}\xi^2[\hat{\beta} + i\Delta\hat{\beta}]} e^{i\xi\hbar\tau_2}. \quad (37)$$

В частности, для двухуровневой модели $h_{11} - h_{22} = 1$, $h_{12} = V_{11} = V_{22} = 0$, $V_{12} = L$ в старшем по ξ порядке находим

$$P = \sin^2(\pi L - \pi L \xi^2). \quad (38)$$

Первый член аргумента (38) определяется углом разворота оси между частицами в процессе их относительного движения. Поправка к фазе πL формируется, как можно видеть, в области больших расстояний $|\tau| > |\tau_0|$. Этот результат естествен и связан с конкуренцией при больших τ кориолисова взаимодействия и постоянного расщепления термов. Из сказанного ясно, что даже для столкновений с заметным искривлением траектории поправка останется той же, если траектория при $|\tau| > |\tau_0|$ уже практически не искривлена. В этом случае для вероятности имеем

$$P = \sin^2[(\pi - \theta)L - \pi L \xi^2], \quad (38')$$

где θ — угол рассеяния частиц.

Таким образом, в неупругих атомных и молекулярных столкновениях с низкими энергиями столкновений довольно часто реализуются условия применимости теории возмущений по параметру Месси ξ . Вместе с тем точность экспериментов возросла настолько, что для описания их результатов необходимо использовать не только нулевой порядок теории возмущений, определяемый методом проектировки, но и следующие члены разложения по ξ матрицы рассеяния.

В настоящее время проводится много экспериментов в атомных пучках по исследованию возбуждения внешних и внутренних оболочек атомов. В частности, в настоящее время интенсивно исследуются механизмы возбуждения внешних оболочек при столкновении щелочных атомов с атомами инертных газов, а также с ионами атомов щелочных металлов и других элементов [11-15]. Сейчас в некоторых работах предпринимаются попытки по относительному заселению компонент мультиплетов возбужденных атомов восстановить квазимолекулярный механизм возбуждения [16, 17], однако энергии столкновения в процессах, исследованных в этих работах, довольно малы, так что параметр Месси в ряде случаев оказывается заметным ($\xi \geq 0.3$). Определить механизм, используя метод проектировки в такой ситуации, практически невозможно из-за больших погрешностей метода проектировки.

При столь низких энергиях могут оказаться полезными полученные в этой работе формулы, которые для широкого класса потенциалов взаимодействия сталкивающихся частиц позволяют практически без использования ЭВМ рассчитывать необходимые вероятности с точностью не хуже 0.05 в первом порядке по ξ при $\xi \leq 0.5$ и во втором порядке при $\xi \leq 0.8$. При этом увеличение количества связанных уравнений несколько ухудшает точность разложения, но не приводит к сколько-нибудь существенному усложнению расчета.

Литература

- [1] V. Kempter. Adv. in Chem. Phys., 30, 417, 1977.
- [2] D. R. Bates. Atomic and Molecular Processes. Academic Press, N. Y., 1962.
- [3] E. E. Nikitin. Adv. in Quant. Chem., 5, 135, 1970.
- [4] Е. Е. Никитин. Теория элементарных атомно-молекулярных процессов в газах. «Химия», 1970.

- [5] А. М. Дыхне, Г. Л. Юдин. Усп. физ. наук, 125, 377, 1978.
[6] А. И. Shushin. Chem. Phys. Lett., 55, 535, 1978.
[7] Ph. Pechukas, J. C. Light. J. Chem. Phys., 44, 3897, 1966.
[8] J. E. Bayfield, E. E. Nikitin, A. I. Resnikov. Chem. Phys. Lett., 21, 212, 1973; 19, 471, 1973.
[9] Л. Д. Ландау, Е. М. Лифшиц. Квантовая механика. ФМЛ, М., 1974.
[10] V. Ermotchenko. Compt. Rend., 277, 475, 1973.
[11] T. Andersen, A. K. Nielsen, K. J. Olsen. Phys. Rev., A10, 2174 1974.
[12] V. Kempter, G. Reicke, F. Veith, L. Zehnle. J. Phys., B9, 3081, 1976.
[13] P. J. Martin, G. Riecke, J. Herman, L. Zehnle, V. Kempter. J. Phys., B11, 1991, 1978.
[14] V. Aquilanti, P. Casavecchia, G. Grossi. J. Chem. Phys., 65, 5518, 1976.
[15] R. Düren, U. Krause, G. Moritz. Chem. Phys. Lett., 56, 62, 1978.
[16] Е. Е. Никитин, М. Я. Овчинникова, А. И. Шутин. ЖЭТФ, 70, 1243, 1976.
[17] N. H. Talk, J. C. Tully, C. W. White, J. Krauss, A. A. Monge, D. L. Simms, M. F. Robbins, S. H. Neff, W. Lichten. Phys. Rev., A13, 765, 1976.

Поступило в Редакцию 15 февраля 1979 г.